

名古屋工業大学 正員 細井 正延

杉山 錦雄

名工大大学院 学生員 ○越村 一雄

1. はしがき：河川に水制を設けた場合に問題になるのは、(1) 水制工によるエネルギー消費、したがって、流速減少がどうなるか、(2) 洗掘による水制工自体の破損防止、などであり、これらの観点にたって水制高さと水制間隔との関係を合理的に決定することが必要である。

越流型水制では、(水深)/(水制高)の値が一般に小さいので、水制間で跳水現象が現われることがあるため、著者は、従来の相当粗度という考え方ではなく、流れを、水制による段落ち流とせき上げ流の組合せとして取扱い、さらに水制上での流線が曲率をもつための影響を考慮して、エネルギー損失、後流領域の長さとそこでの渦の強度、および水制上で限界水深が現われるための条件などを検討した。またエネルギー損失を、つきの3種、すなわち、(1) 底面摩擦によるもの、(2) 後流領域の渦によるもの、(3) 表面擾乱によるもの、に分類した。(2)としては、後流領域の境界面上に作用するセン断力により生ずるものとし、(3)については、跳水による表面擾乱に起因するものが大部分と考えた。

2. 実験方法および装置：実験水路は、長さ15m、幅60cmの勾配可変の鋼製で、水路中央部の両側面はガラス張りである。水路底面に直径49mmの円形断面のパイプを、水路方向に直角に水路を横断して枝型状に敷き、水制の模型とした。パイプの間隔と直径の比  $S/k = 10, 20, 25$  の3種類とし、水路底勾配  $J = 1/80, 1/400$  とし、水制上での水深を2~10cmの間で変化させ、ポイントゲージおよび抵抗線式水位計を用いて測定した。平均流速、流量、運動量補正係数 $\alpha$ 、流速分布係数 $\beta$ の値は、水路断面中央でピトー管により測定した鉛直流速分布から求め、またパイプ面およびパイプ上の各水深の点で静水圧を測定して、パイプ面の水圧、圧力分布補正係数 $\delta$ 、Jaegerの圧力分布補正係数 $\delta'$ を求めた。

3. 実験結果と考察：(水深)/(水制高)の値が小さい場合には、水流が水制上を越流する際、かなり大きな曲率をもち、特に射流が現れる場合には、その影響が大きいので、曲率の影響を考慮した。図-1にて、Sec.IとSec.IIの間で、後流領域を含むのと含まない場合の2個の運動量方程式をたて、Separation boundaryに作用するセン断力 $F_e$ と、底面摩擦力 $F_f$ を計算する。 $(F_e + F_f)/S = \tau$ として、 $U_m/\sqrt{C_1 \rho} \sim H_m/k$ の関係を示したのが図-2であり( $H_m$ は後流領域を除外した平均的水深)，これは全抵抗から表面擾乱による抵抗を除いた、後流領域の渦と底面摩擦とによる抵抗係数を示すものである。 $S/k = 10, 25$ の常流のものと射流のものとでは、非常に近い値をもつことがわかり、これにより、流れの一部に射流が現れても、抵抗係数の値は大きな影響を受けないものと思われる。図-3は、全抵抗(表面擾乱によるものも含む)を考慮した場合の抵抗係数を示すものであり、図-2と比較して、射流の場合に点が下降しているのは、表面擾乱に起因する抵抗係数の増加を示す。図-2と図-3の常流の場合の点が同じ位置にないのは、計算過程での近似のさせ方によること、あるいは、常流の場合でも、多少の表面擾乱によ

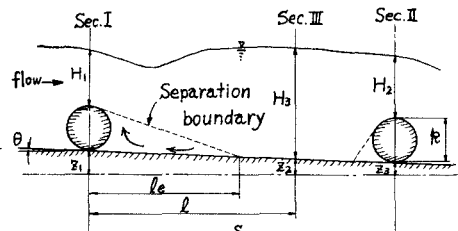


図-1.

る抵抗が存在するためであろうと思われる。図-4は、前の2個の図と同じ方法により、 $F_e / l_e = T_e$ として、 $U_m' / \sqrt{T_e / \rho} \sim H_m' / k_e$ の関係を示したもので（ $H_m'$ は後流領域の存在する部分の平均的水深），これは後流領域の渦の強度を表すための一つの指標である。すなわち、Sec. Iでのフルード数が大きいものほど、点が下位に位置しており、抵抗係数が大きい。これにより、水制背後の洗掘を考える場合の一つめやすとなるであろう。

後流領域の長さについては、椿博士が述べているように<sup>2)</sup>、射流が現われる場合に短かく、常流の場合に長くなることが、実測結果より明瞭であった。

水制頂面上で射流が現われる場合と常流の場合とでは、後流領域の長さ、渦の強度、エネルギー損失などが著しく異った値を示すので、水制上で限界水深をとるために<sup>1)</sup>の条件をみいだす必要がある。図-1で、Sec. I～Sec. IIIに運動量方程式を立て、Sec. Iでは曲率を考慮し、Sec. IIIでは静圧分布とする。限界状態では、水制上では、 $U / U_m \approx 1.0$  と仮定すると（実測結果よりこれが言い得る。）、 $\alpha_1 = (1 + \gamma_1) / 2$  となる。また、 $H_1 / H_3 = \beta$ 、 $k / H_3 = K$ 、 $(z_1 - z_3) / H_3 = \Delta K$ 、 $U_m / \sqrt{g H_3} = F_3$  において運動量方程式に代入し、さらには、 $\gamma_1 = \gamma_3 \approx 1.0$ 、 $\Delta K / K \ll 1$  として、限界フルード数 $F_c = \sqrt{\alpha_1 / \alpha_1}$  を用いて整理すると、

$$\left( \frac{2\alpha}{1 + \gamma_1} \right)^{\frac{1}{3}} \cdot F_3^{\frac{3}{2}} = - \frac{2}{3} K - 2 \sqrt{\frac{1}{3} \left( \frac{1}{3} K^2 + \frac{1 + 2F_3^2}{\gamma_1} \right)} \cdot \cos\left(\frac{\varphi}{3} + 120^\circ\right)$$

$$\text{ただし}, \quad \cos \varphi = \frac{-\frac{K^3}{27} + \frac{K}{3\gamma_1} + \frac{1}{\gamma_1} \left( \frac{2}{3} K + 1 \right) F_3^2}{\left\{ \frac{1}{3} \left( \frac{1}{3} K^2 + \frac{1 + 2F_3^2}{\gamma_1} \right) \right\}^{3/2}}, \quad 0 < \varphi \leq \frac{\pi}{2}$$

上式において、 $\alpha_1 \approx 1.0$  として、 $\gamma_1$ をパラメータとして $F_3$ と $K$ の関係を図示すると、図-5 のようになる。なお、本研究は、文部省科学研究費（特定研究）の補助を受けたことを付記する。

#### 参考文献

- 1) 芦田 和男：開水路断面急拡部の水理に関する研究(2)，土木研究所報告第105号
- 2) 椿 東一郎：水制の水理に関する実験的考察，第14回年次学術講演会講演概要 第Ⅲ部
- 3) 芦田，荒木：開水路断面急拡部における水理に関する研究(1)，土木研究所報告第101号

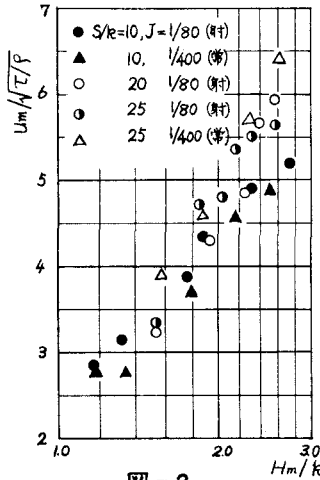


図-2

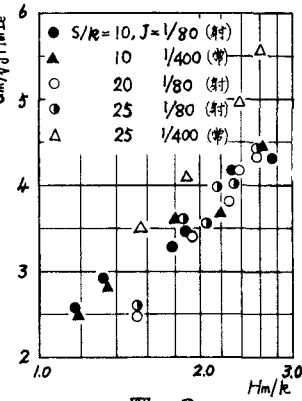


図-3

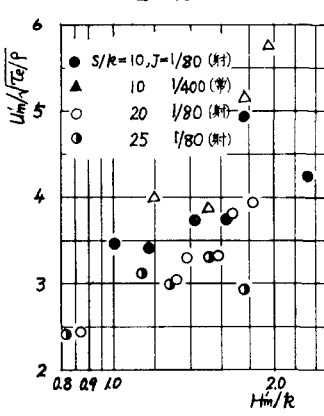


図-4

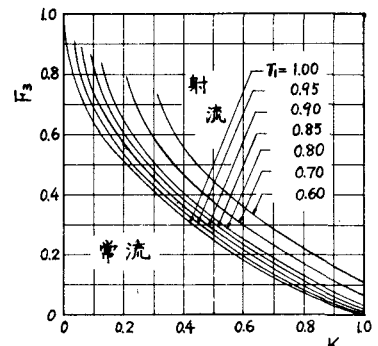


図-5